

Figure 2(a).

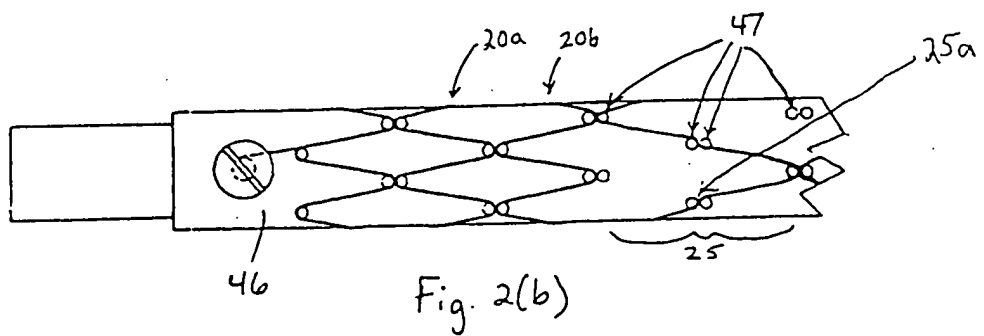
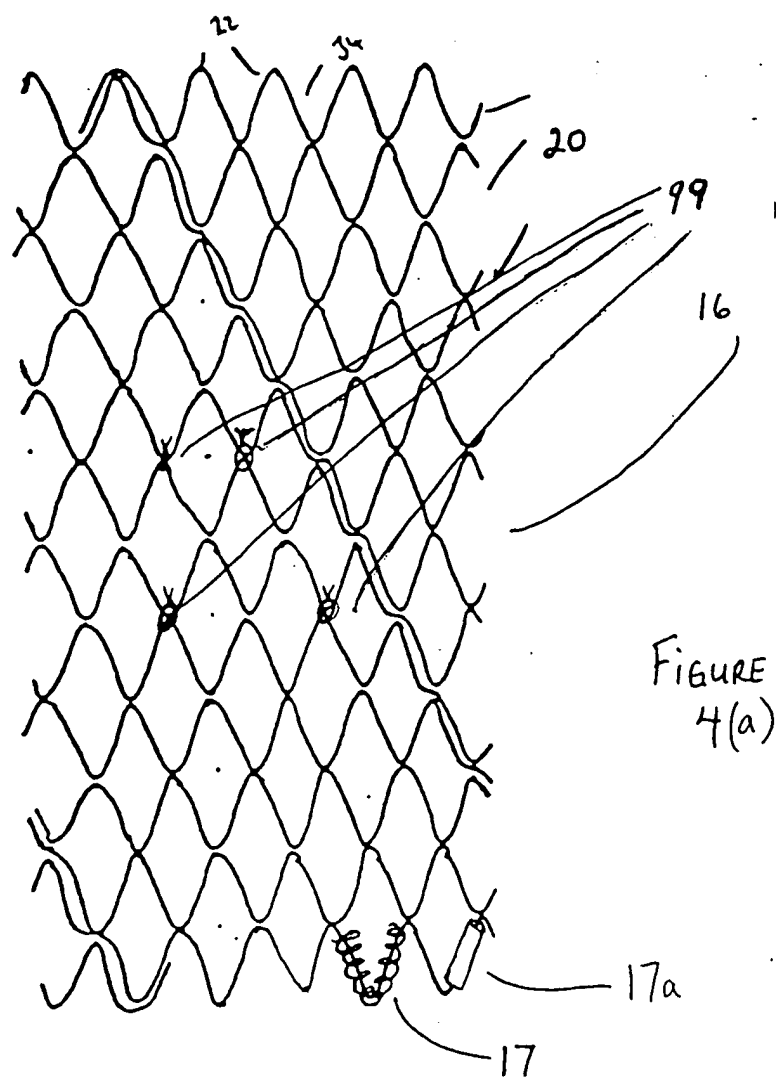
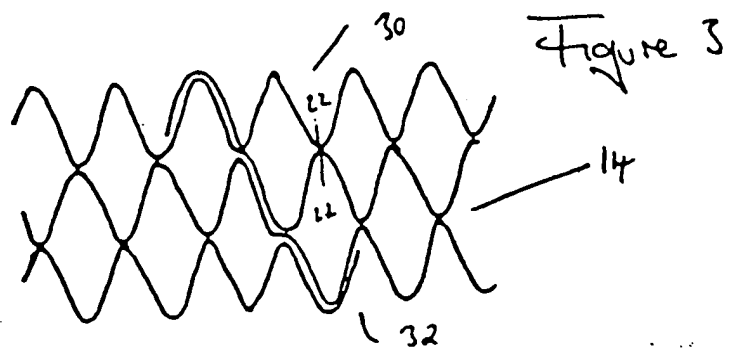


Fig. 2(b)



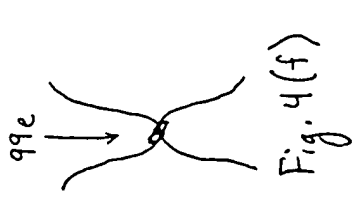


Fig. 4(f)

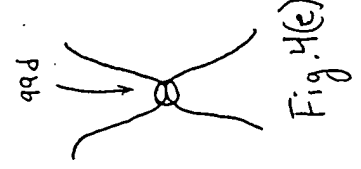


Fig. 4(e)

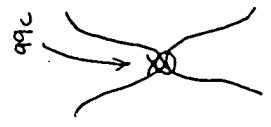


Fig. 4(d)

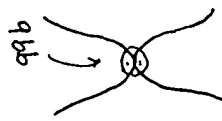


Fig. 4(c)

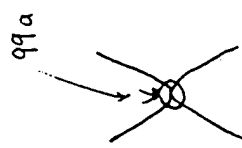


Fig. 4(b)

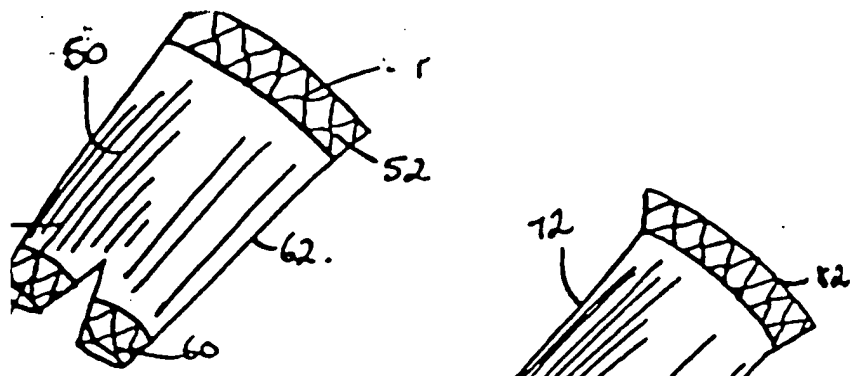


Figure 5.

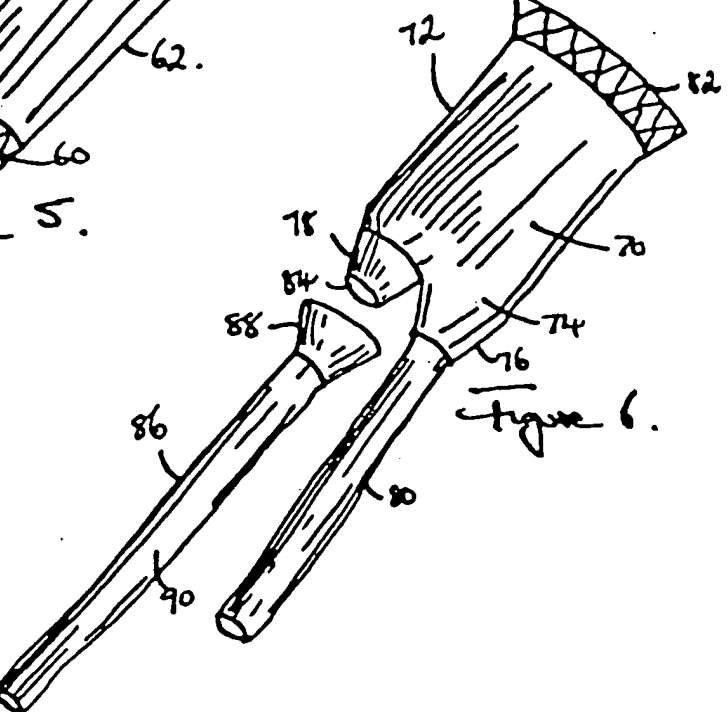


Figure 6.

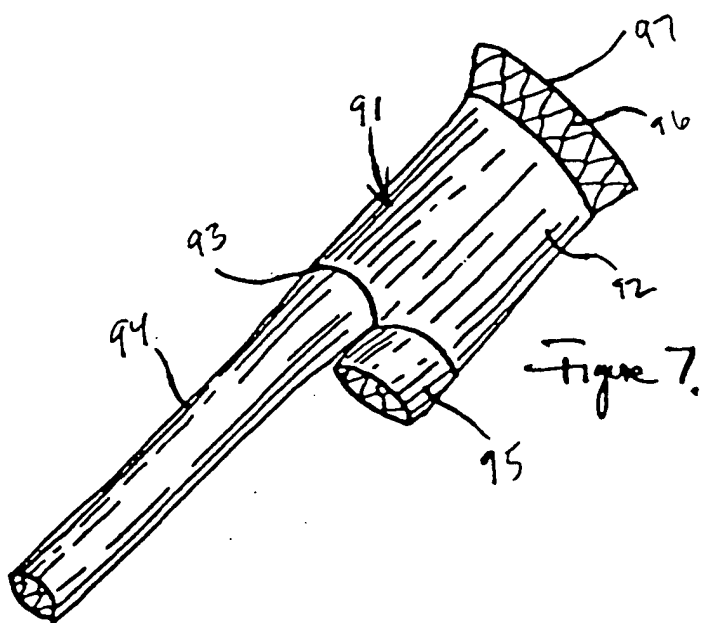
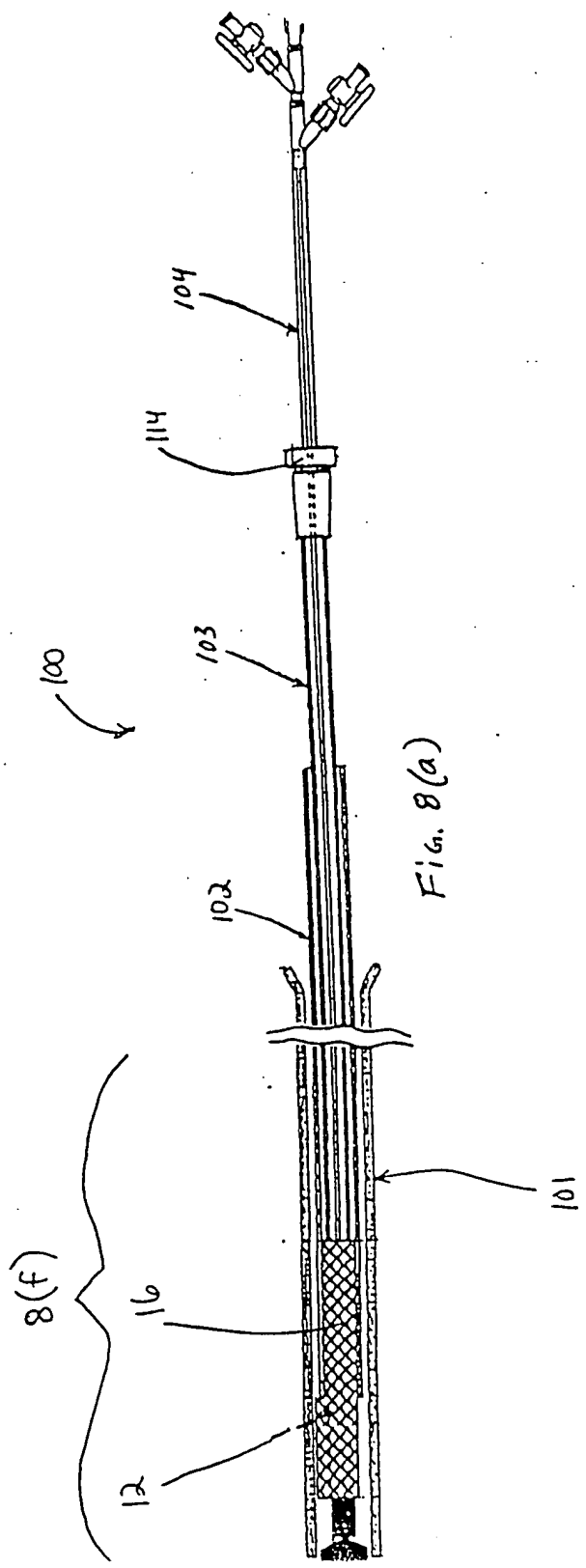
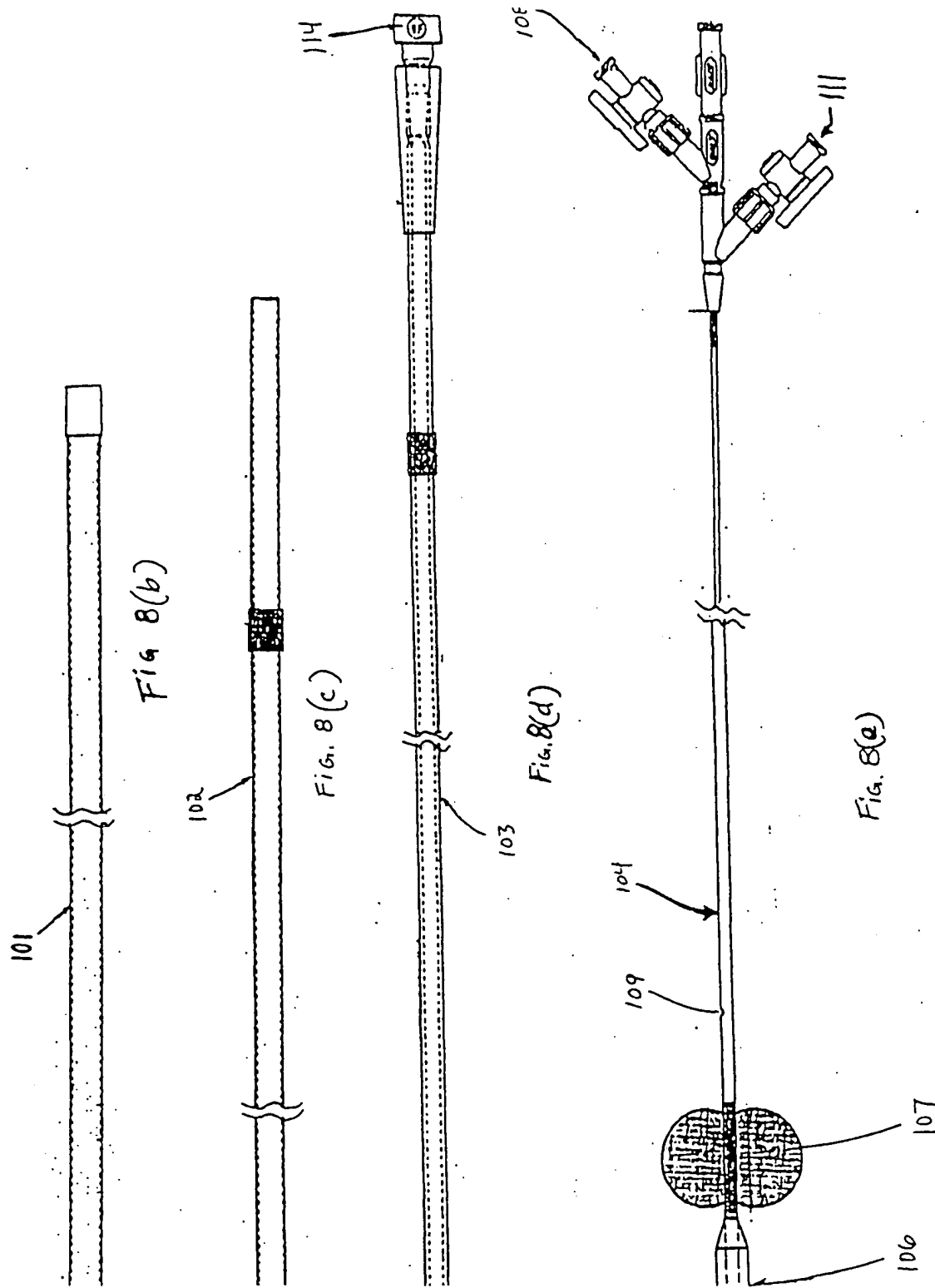


Figure 7.





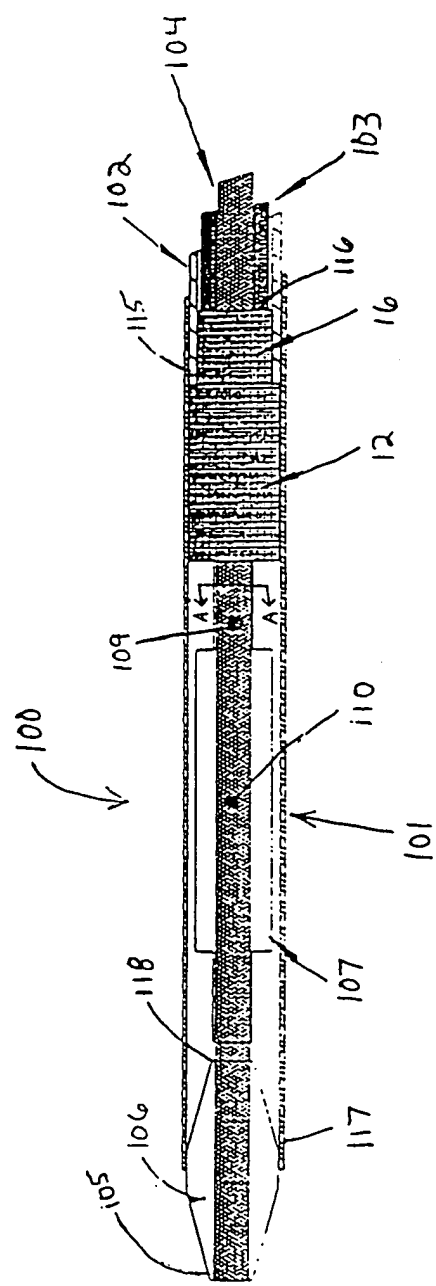


Fig. 8(f)

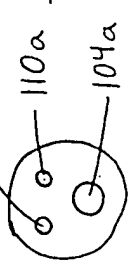
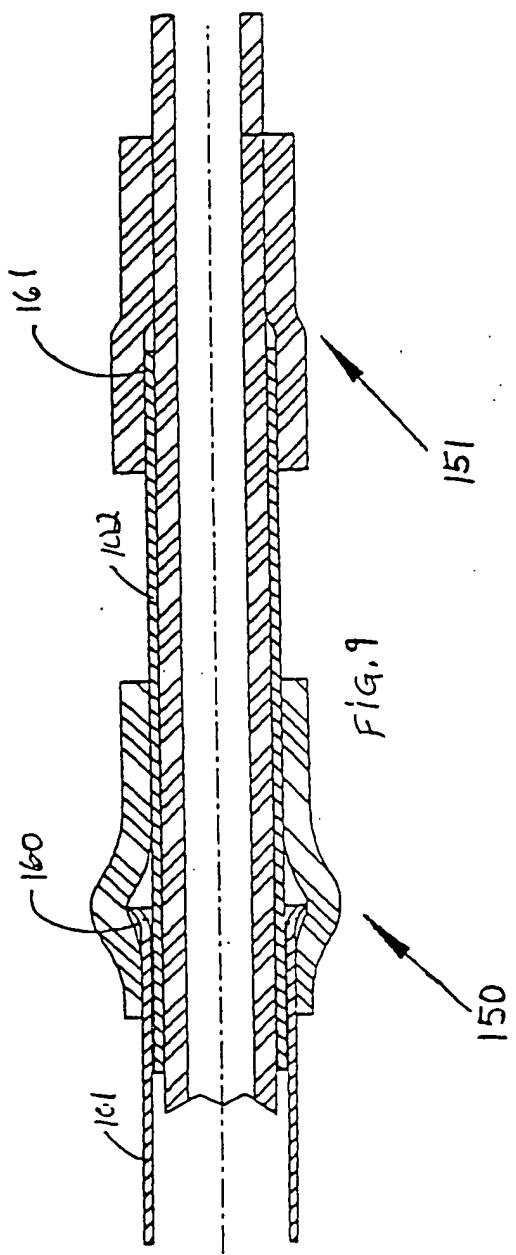


Fig. 8(g)



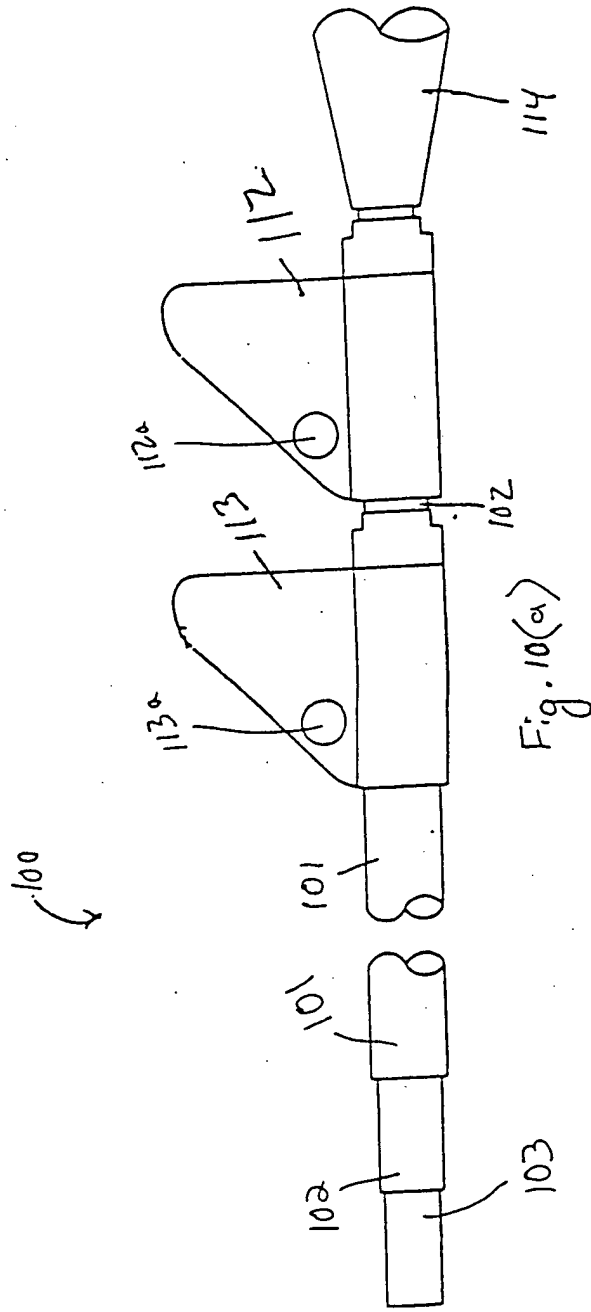


Fig. 10(a)

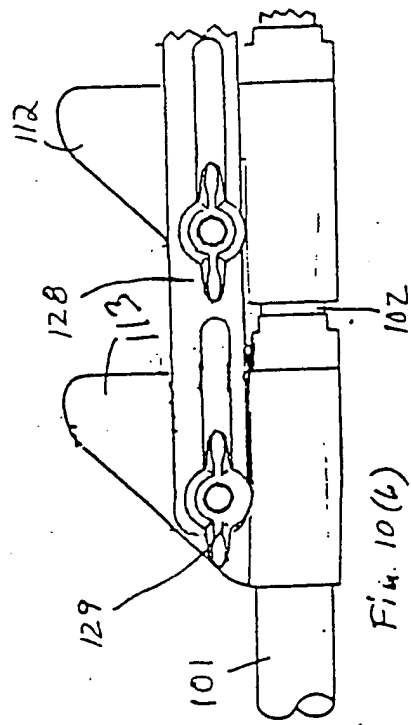


Fig. 10(b)

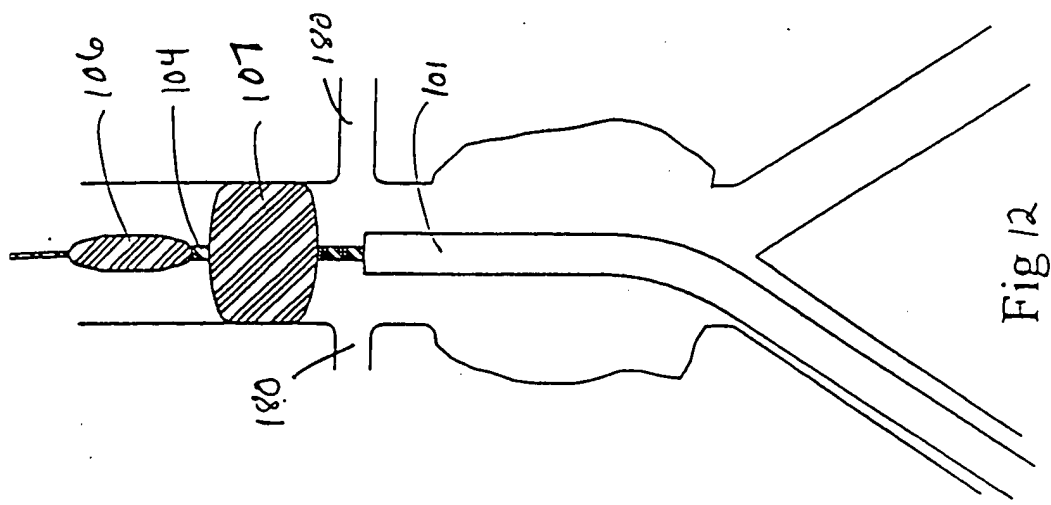


Fig 12

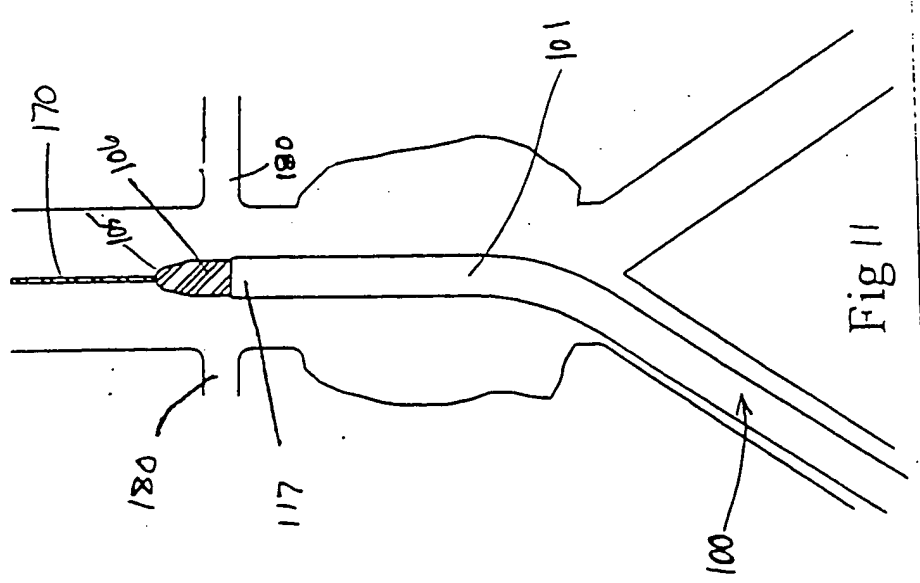


Fig 11

Fig 14

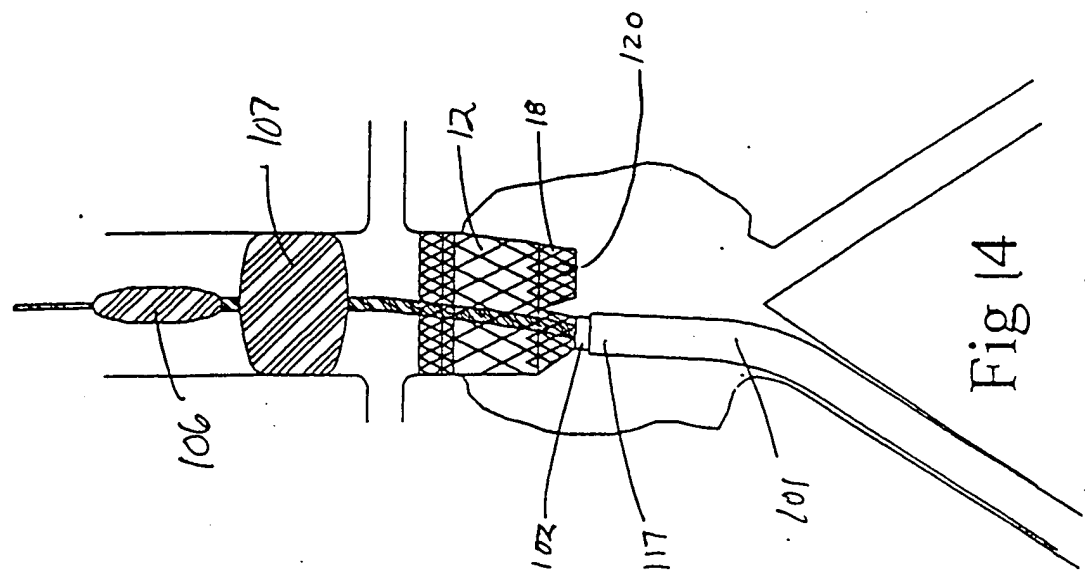
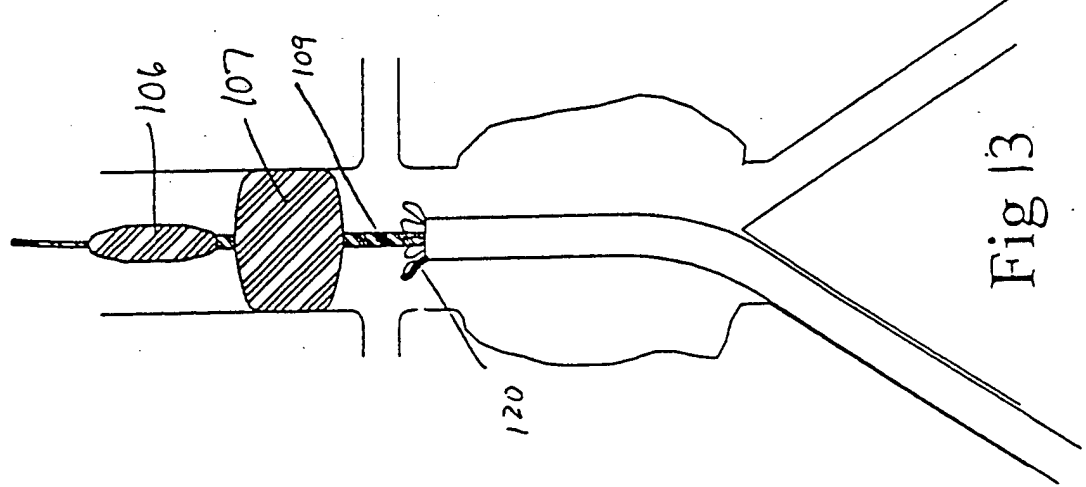
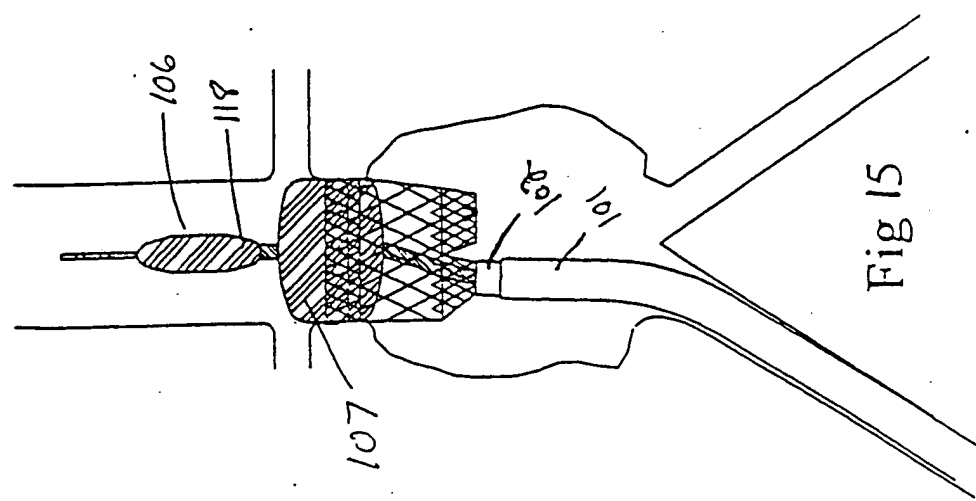
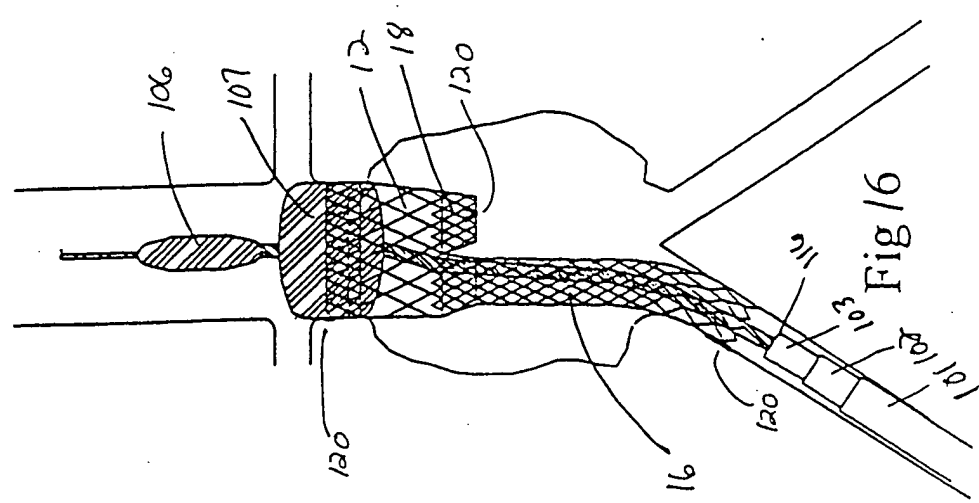


Fig 13





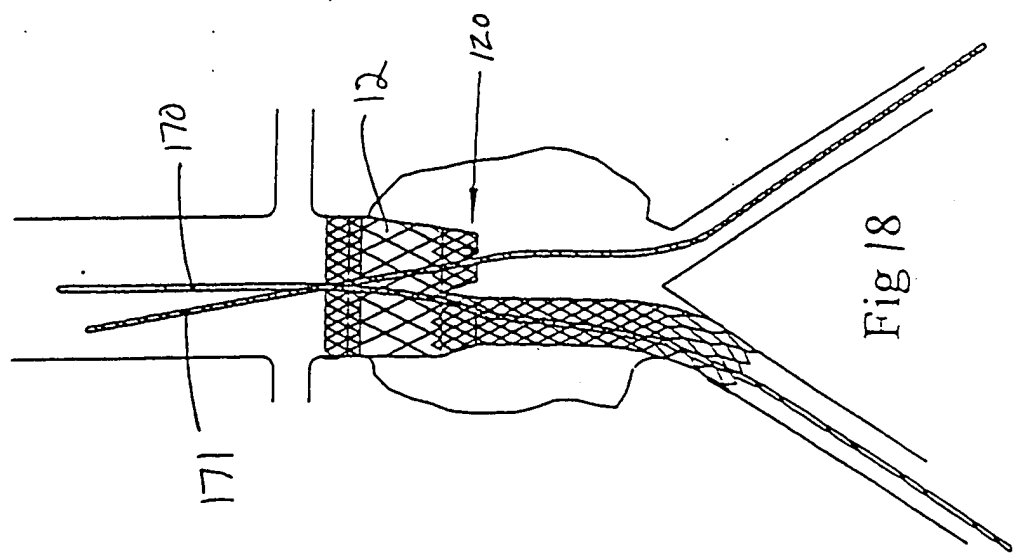


Fig 18

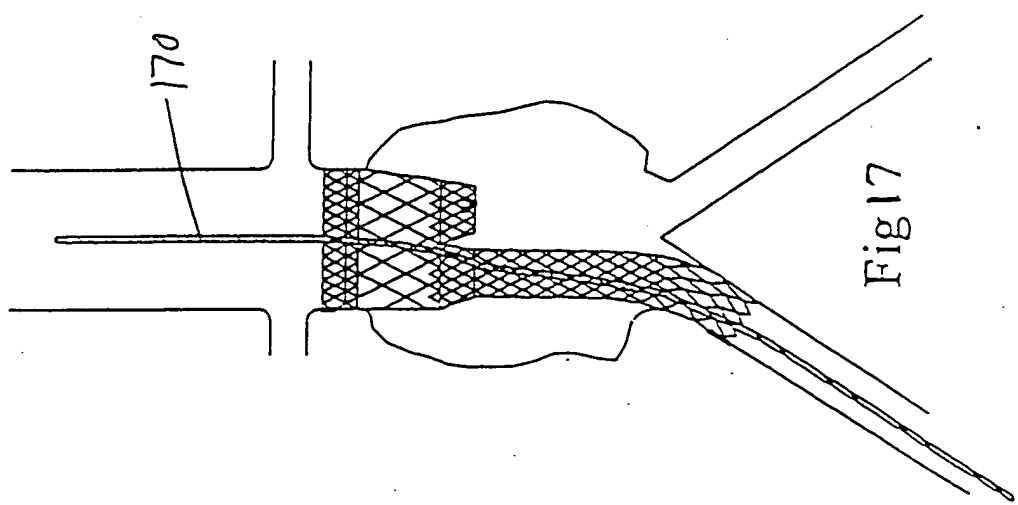


Fig 17

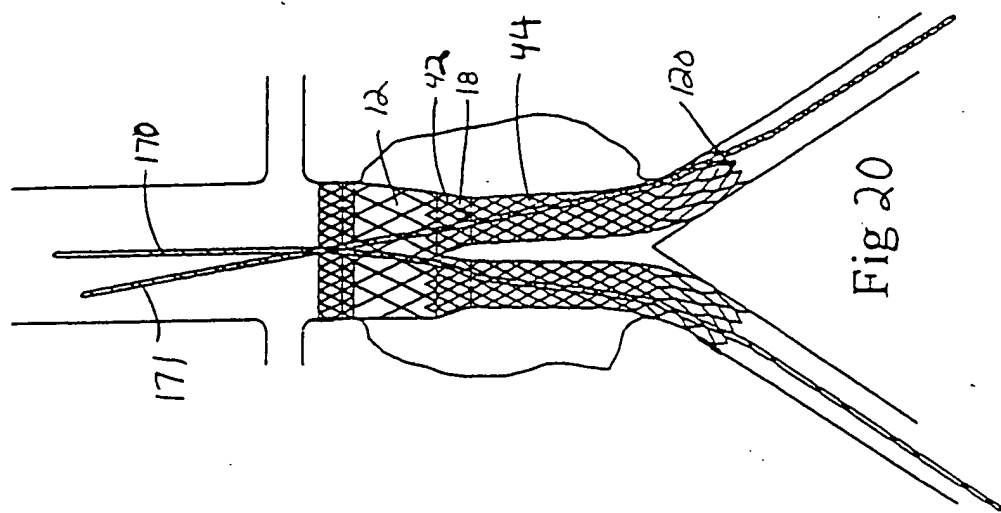


Fig 20

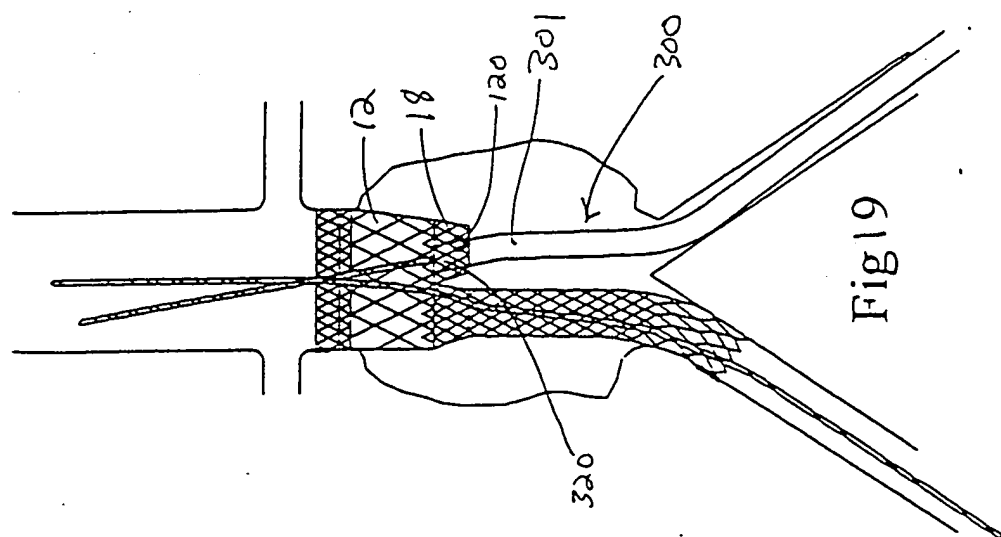
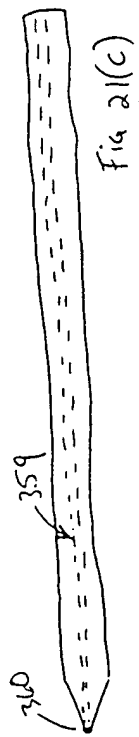
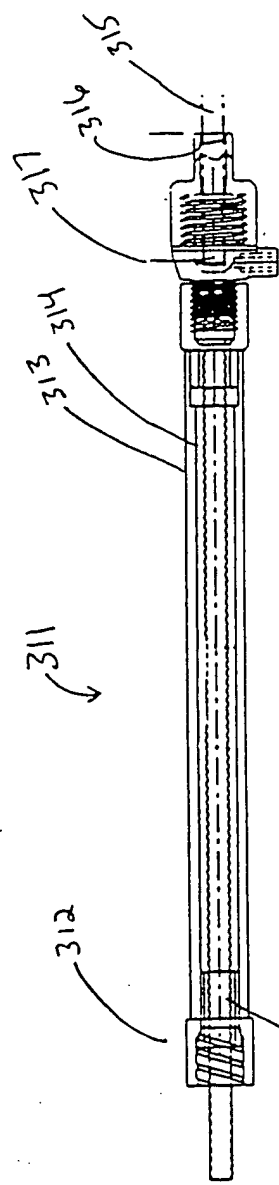
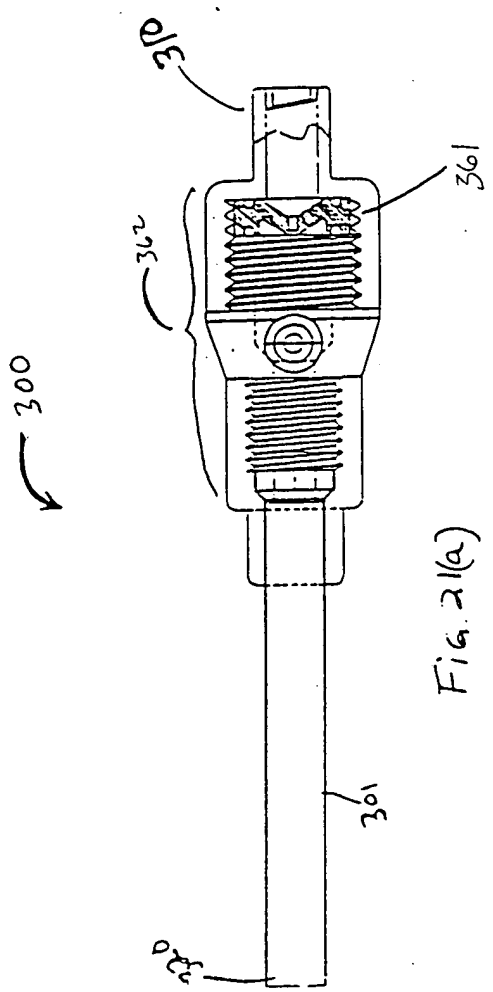


Fig 19



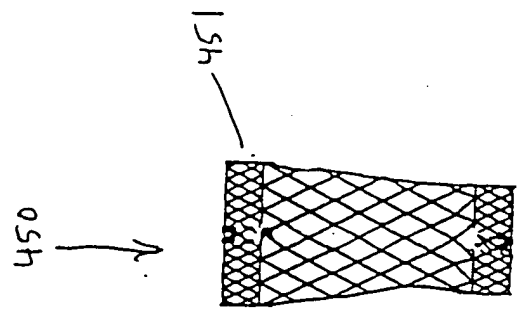


Fig. 23

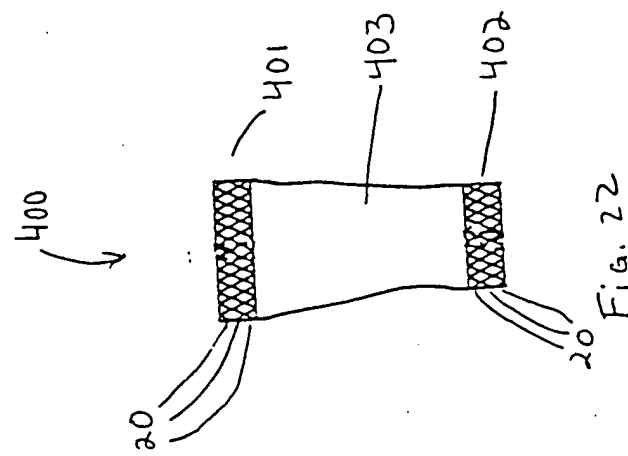


Fig. 22

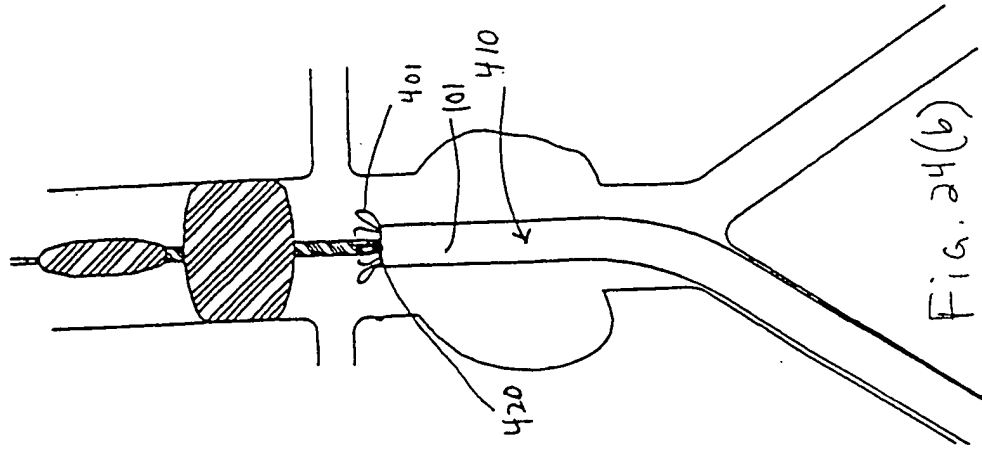


Fig. 24(b)

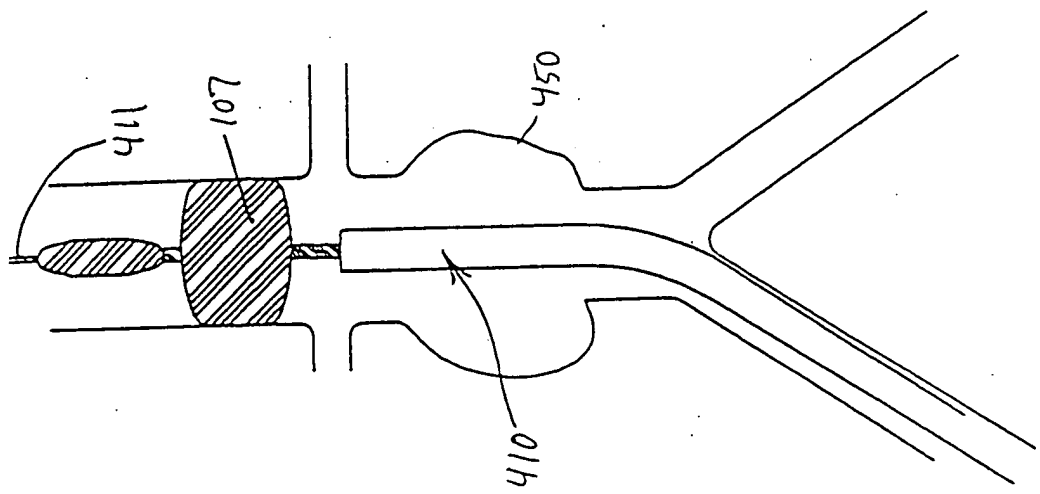


Fig. 24(a)

Fig. 25

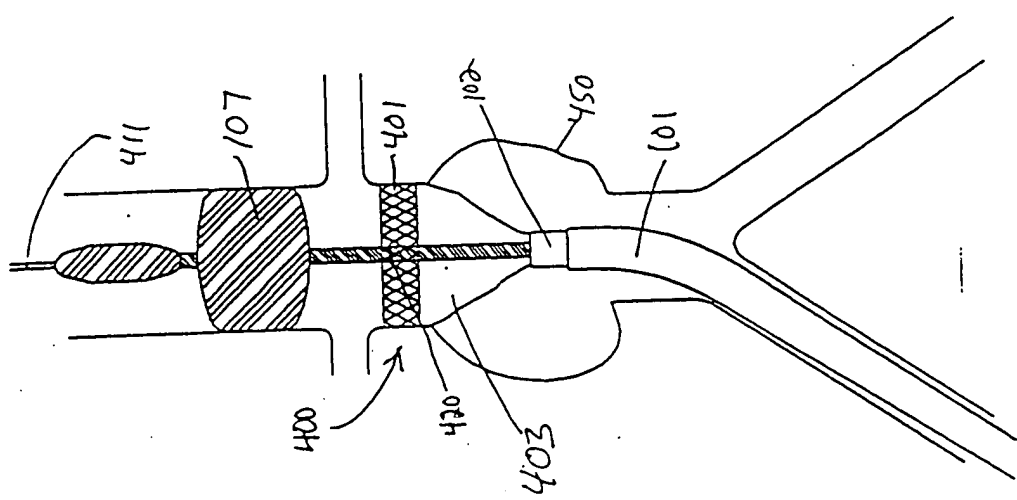


Fig. 27

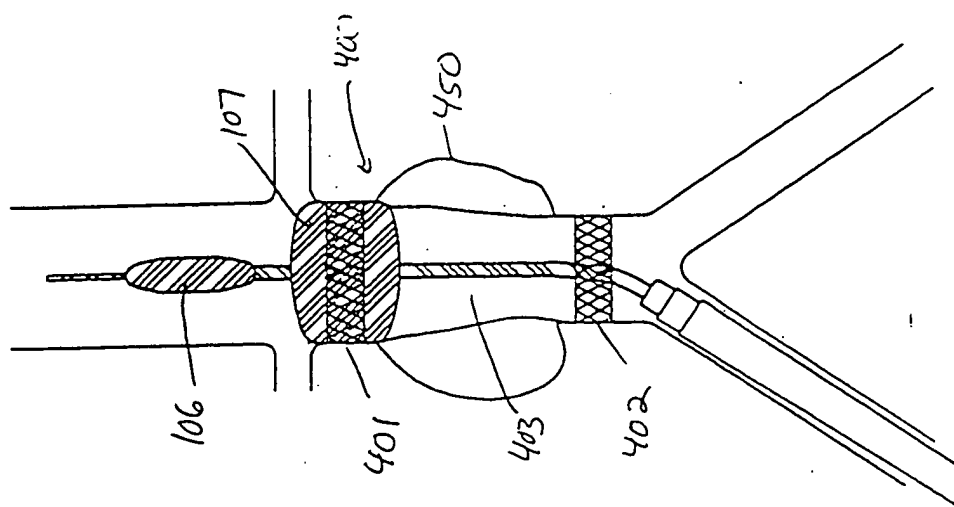
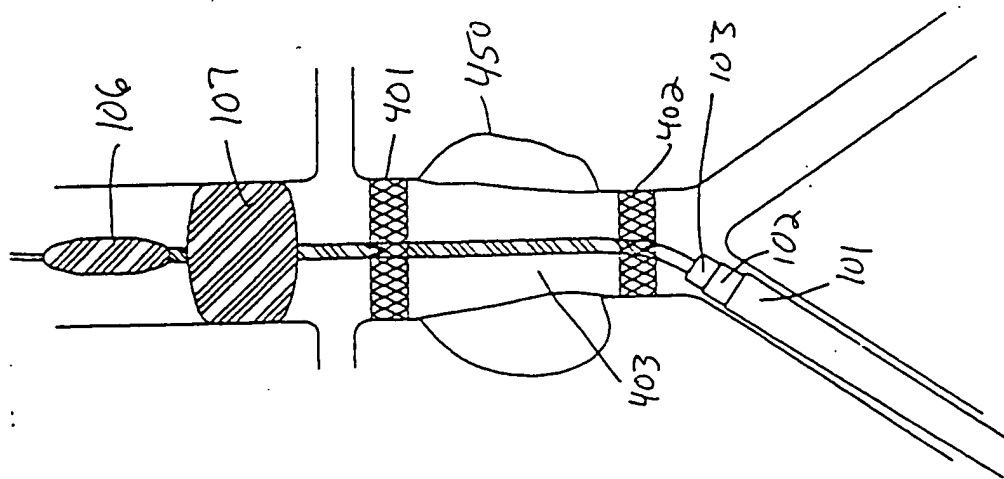


Fig. 26



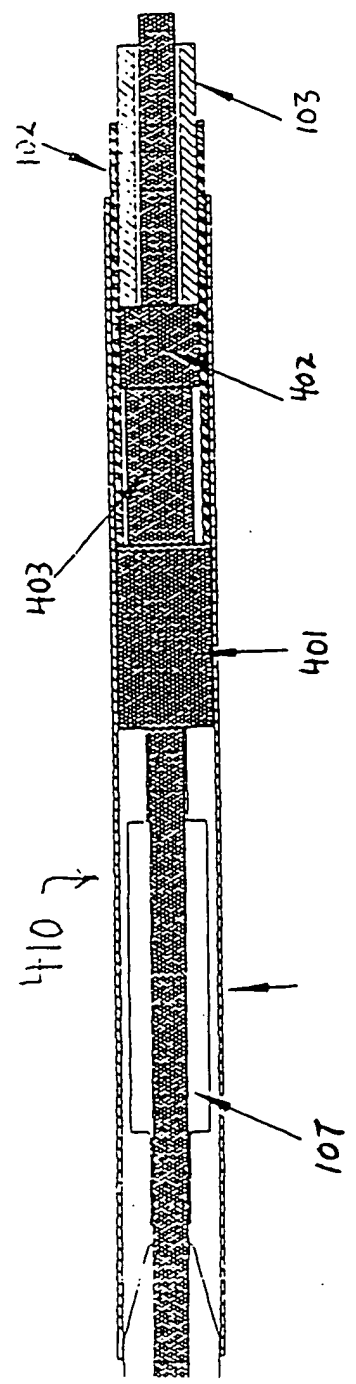


Fig. 28

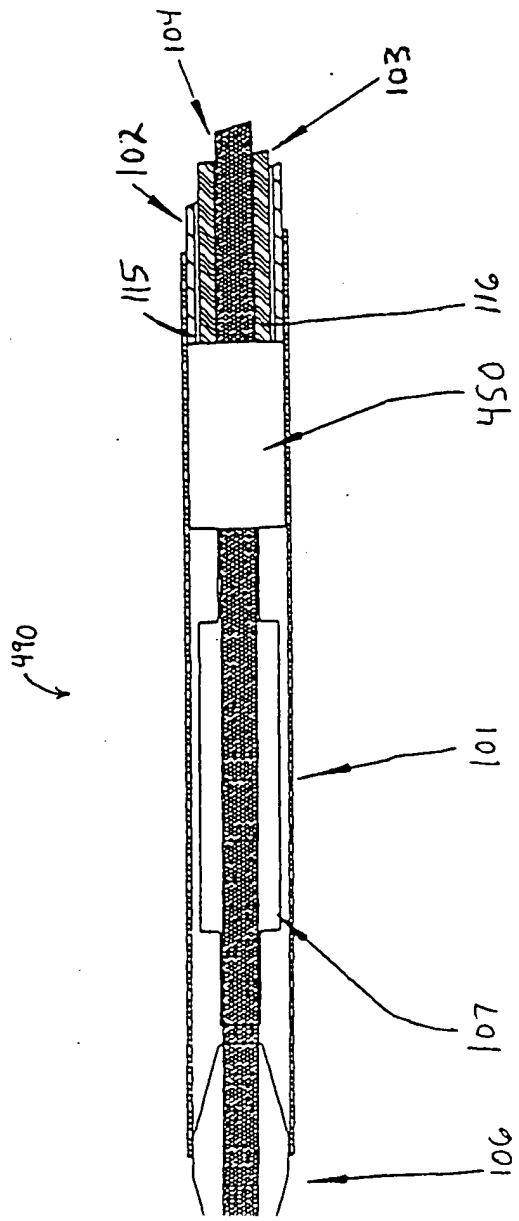


Fig. 29

